



IMARPE
INSTITUTO DEL MAR DEL PERÚ

SIOFEN SERVICIO DE INFORMACIÓN OCEANOGRÁFICA
DEL FENÓMENO EL NIÑO

Boletín Semanal Oceanográfico y Biológico-Pesquero

Año 11, N° 10

Semana 10: 02 - 08 de marzo de 2026

RESUMEN

» En la región Niño 1+2, la anomalía de la temperatura superficial del mar (TSM) disminuyó levemente hasta $+1,18$ °C, mientras que en la región Niño 3.4 ascendió a $-0,18$ °C (Figura 1). La presión a nivel del mar se normalizó frente a la costa peruana, mientras que el Anticiclón del Pacífico Sur (APS), se mantuvo desplazado al oeste de su posición habitual (Figura 2). Los vientos variaron entre el rango débil/moderado a fuerte, destacando el fortalecimiento de los vientos costeros al norte de Chimbote (Figura 3), lo cual favoreció a la disminución de la TSM en hasta $1,6$ °C (Figura 5b). Por otro lado, dentro de las 60 mn se detectó la propagación de anomalías positivas del nivel del mar (ANM) a lo largo de la costa, señalando el paso de una onda Kelvin cálida (Figuras 6a, b). Entre Chimbote e Ilo, las Aguas Subtropicales Superficiales (ASS, $SSM > 35,1$) con TSM mayor a 23 °C se replegaron hacia el oeste, destacando la zona costera al sur de Pisco, donde el descenso de la TSM alcanzó $4,2$ °C (Camaná) a causa de un mayor afloramiento de las aguas menores a 20 °C (Figura 4 y 5b). Estas condiciones generaron una caída abrupta de la cobertura de la ola de calor marina (OCM) dentro de las 150 mn, a unos $40,000$ km² el 7 de marzo (Figura 7). En los últimos días, destacó la disminución del enfriamiento en el sector costero sur, predominando condiciones neutras dentro de las 60 mn desde Huanchaco hasta Camaná (Figura 6d).

» La información recolectada por el IMARPE a bordo del "Crucero de Evaluación Hidroacústica de la anchoveta 2602-03", desde Pacasmayo hasta Chimbote, a nivel superficial, indicó aguas entre 26 y 21 °C con anomalías que fueron disminuyendo hacia el sur desde positivas ($+3$ °C) a neutras, observándose la mezcla entre las Aguas Ecuatoriales Superficiales (AES, $33,8 < SSM < 34,8$), el afloramiento de las aguas costeras frías (ACF) y las ASS, que fueron más evidentes por fuera de las 40 mn al sur de Salaverry (Figura 9). El calentamiento anómalo abarcó hasta 30 m de profundidad frente a Chicama, mientras que, frente a Chimbote se presentó de forma somera con valores de hasta $+1$ °C centradas a 20 mn. Por debajo y hasta los 100 m (Chicama) y 75 m (Chimbote), se detectaron anomalías negativas entre $-0,5$ °C a $-2,5$ °C, asociadas al afloramiento hacia la costa de las aguas entre 17 °C y 20 °C. Por debajo de los 200 a 300 m, se encontraron anomalías térmicas de $+0,5$ °C (Figura 8). Frente a la costa norte, el perfilador ARGO a 24 mn de Punta Falsa (07 de marzo), evidenció el calentamiento de la columna sobre los 25 m con anomalías de hasta $+4$ °C y la influencia de las Aguas Tropicales Superficiales ($SSM < 33,8$), así como la profundización de las isoterms, señalando el paso de la Onda Kelvin cálida en la columna de agua frente a la costa norte del Perú (Figura 10 y 6 a y b).

» En la región sur, la disponibilidad del recurso anchoveta *Engraulis ringens* se evidenció entre Ilo y Morro Sama dentro de las 10 mn y con predominio de juveniles; sector donde aún prevalecen condiciones cálidas de hasta $+3,2$ °C. La anomalía del factor de condición (AFC) de la anchoveta durante lo que va de marzo presentó un valor negativo de efecto moderado, menor a lo registrado en febrero, lo cual indicó una condición somática menor a la esperada para la temporada (Figura 11).

PRONÓSTICO

» De acuerdo con el modelo MERCATOR, en la región Niño 1+2 y hasta el 18 de marzo se espera una ligera disminución de las anomalías positivas de TSM, hasta alcanzar $+1,1$ °C (Figura 12).

» Del 10 al 15 de marzo del 2026, se prevé que la Velocidad del Viento (VV) varíe entre rangos débil/moderado y moderado/fuerte en el sector oceánico frente a la mayor parte de la costa entre Paita y San Juan. Hasta el 11, predominarían anomalías negativas o cercanas al rango neutro en el sector oceánico, mientras que, en la franja costera se observarían anomalías positivas. Entre el 12 y 14, las anomalías positivas se intensificarían principalmente en el sector oceánico norte y centro; para debilitarse a partir del 15, mostrando anomalías negativas en gran parte de la costa centro-sur (Figura 13).

» Las observaciones y el modelo de ondas Kelvin ecuatoriales indican el arribo a la costa sudamericana de una onda Kelvin fría en marzo/abril y nuevas ondas Kelvin cálidas en abril/mayo (Figuras 6a y 14).



PERÚ

Ministerio
de la Producción



PREMIO 2018
BUENAS PRÁCTICAS
EN GESTIÓN PÚBLICA

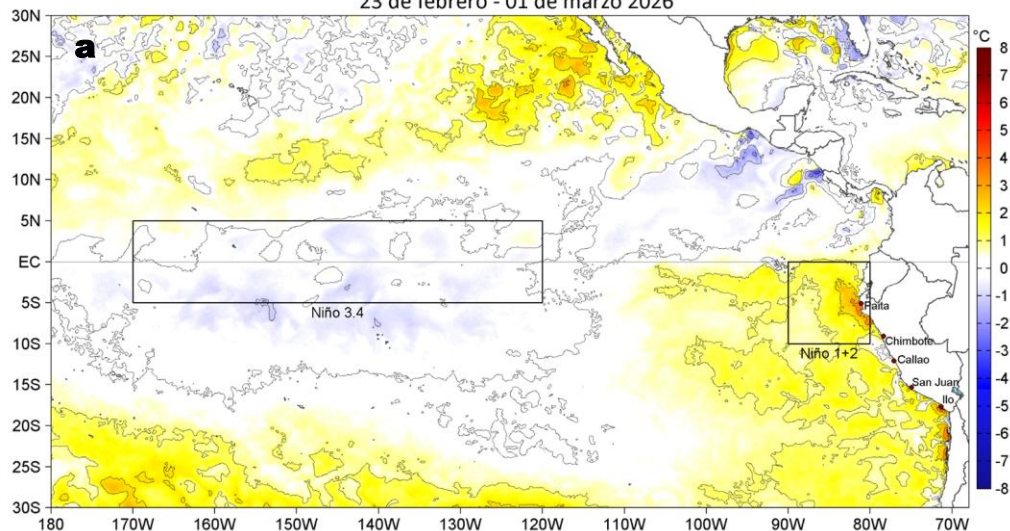


DGIOCC
Dirección General de Investigaciones
en Oceanografía y Cambio Climático

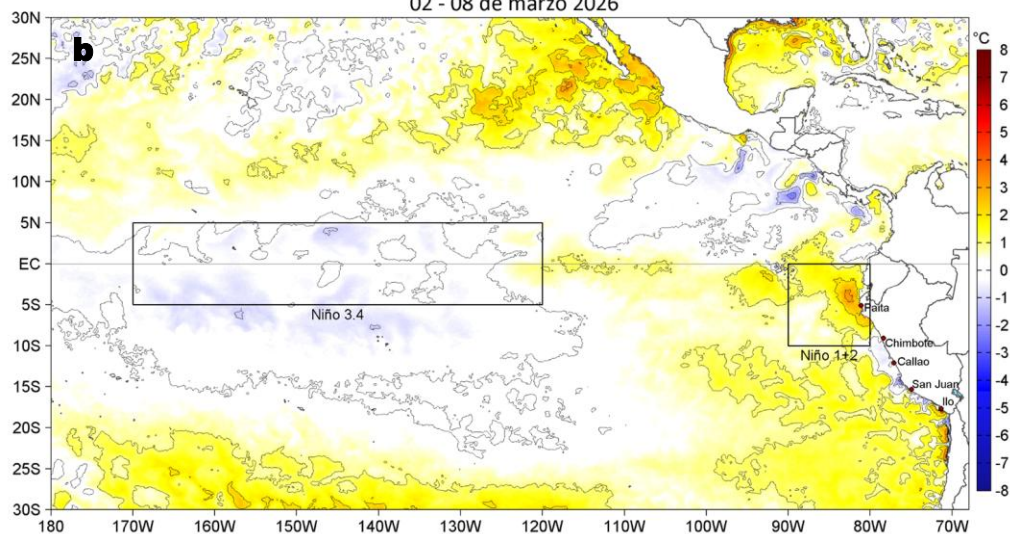


DGIRP
Dirección General de Investigaciones
de Recursos Pelágicos

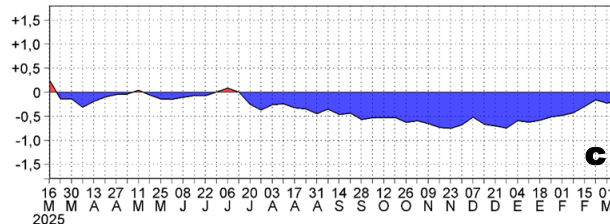
Anomalías de la Temperatura Superficial del Mar (°C)
23 de febrero - 01 de marzo 2026



Anomalías de la Temperatura Superficial del Mar (°C)
02 - 08 de marzo 2026



ATSM REGION NIÑO 3.4



ATSM REGION NIÑO 1+2

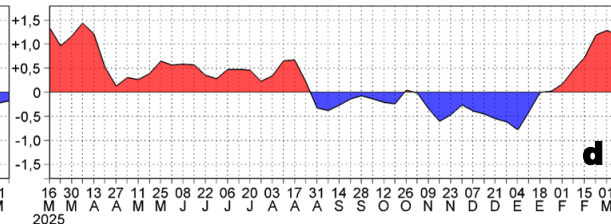


Figura 1. Anomalías promedio de la temperatura superficial del mar (TSM, °C) en el océano Pacífico tropical del 23 de febrero al 01 de marzo (a) y del 02 al 08 de marzo (b) del 2026, así como la variación del promedio semanal durante el último año para la región Niño 3.4 (c) y la región Niño 1+2 (d). Las regiones Niño 3.4 y Niño 1+2 en los sectores central y oriental del océano, respectivamente, están delimitadas con una línea de color gris. Datos: OSTIA-UKMO-L4-GLOB-v2.0 (UK Met Office, 2012; Donlon et al, 2012). Climatología: 1991-2020.

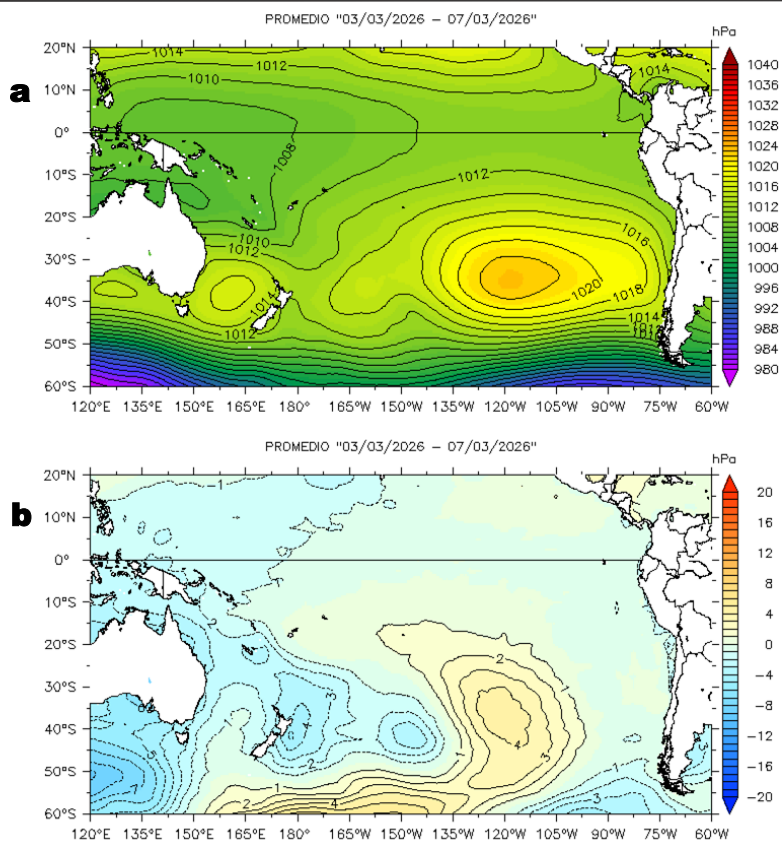


Figura 2. Distribución espacial promedio de la: a) Presión atmosférica (hPa) y b) anomalías de la Presión atmosférica (hPa) en el Pacífico Tropical del 03 al 07 de marzo del 2026.

Fuente de los datos: NCEP/NOAA. Climatología: 1991-2020.

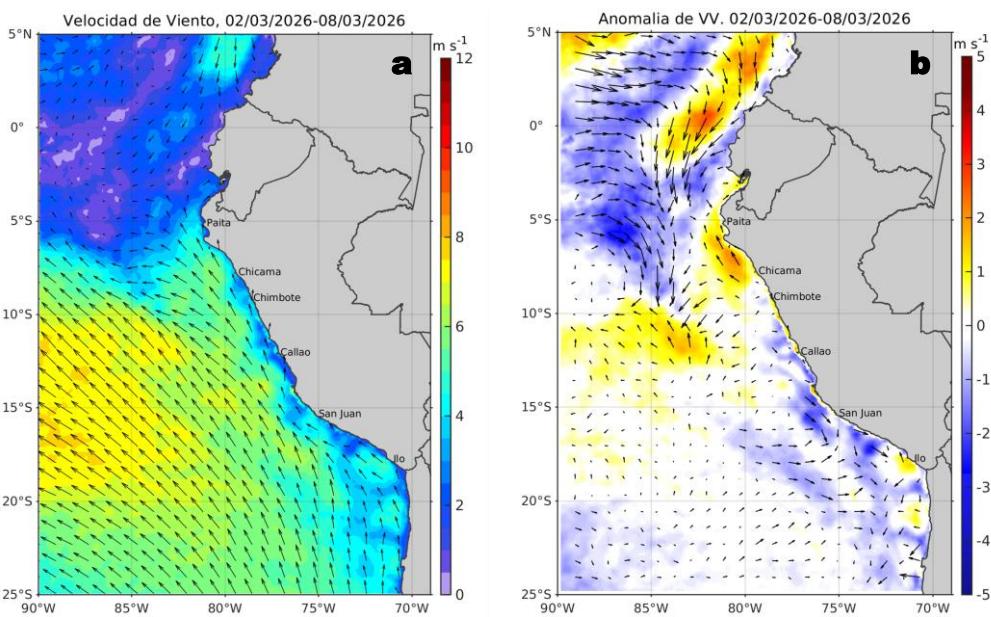


Figura 3. Distribución espacial promedio de: a) la velocidad (m/s) y dirección del viento (°) y b) anomalías de la velocidad (m/s) y dirección del viento (°) frente a la costa peruana del 02 al 08 de marzo del 2026. La velocidad del viento y su anomalía se presentan en matices de colores a la derecha. La dirección del viento y su anomalía se presentan con flechas. Fuente de los datos: CMEMS. Climatología: 2000-2020.

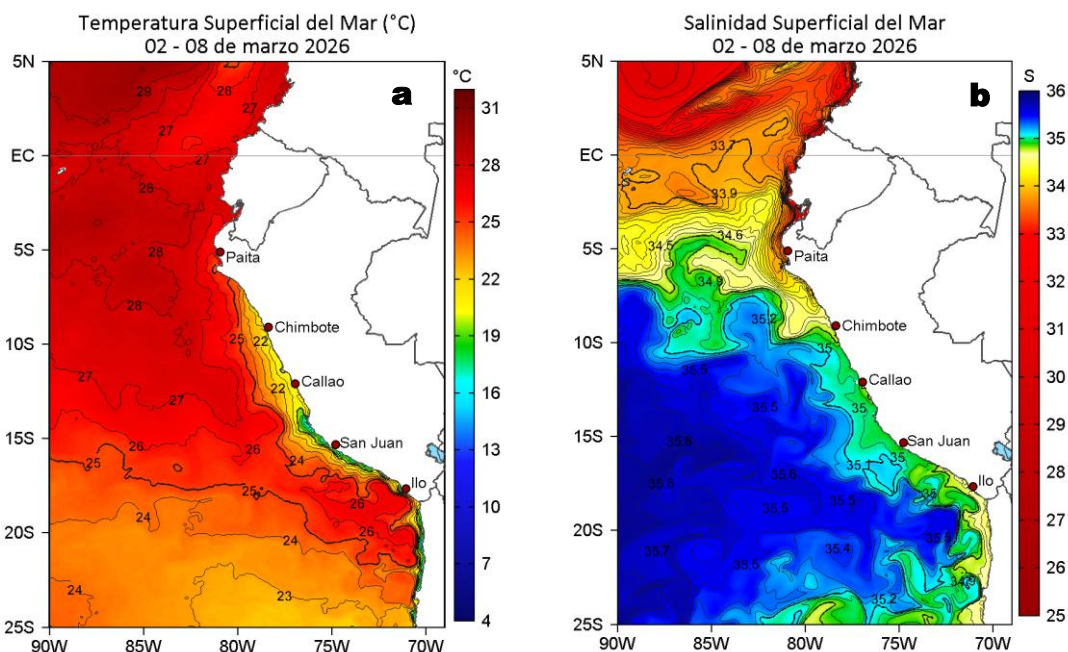


Figura 4. Distribución espacial promedio de la: a) Temperatura superficial del Mar (TSM, °C) y b) Salinidad superficial del mar (SSM) del 02 al 08 de marzo del 2026. Datos: OSTIA-UKMO-L4-GLOB-v2.0 (UK Met Office, 2012; Donlon et al, 2012) para (a) y del GLOBAL_ANALYSISFORECAST_PHY_001_024 (Lellouche, J. M. et al, 2013) para (b).

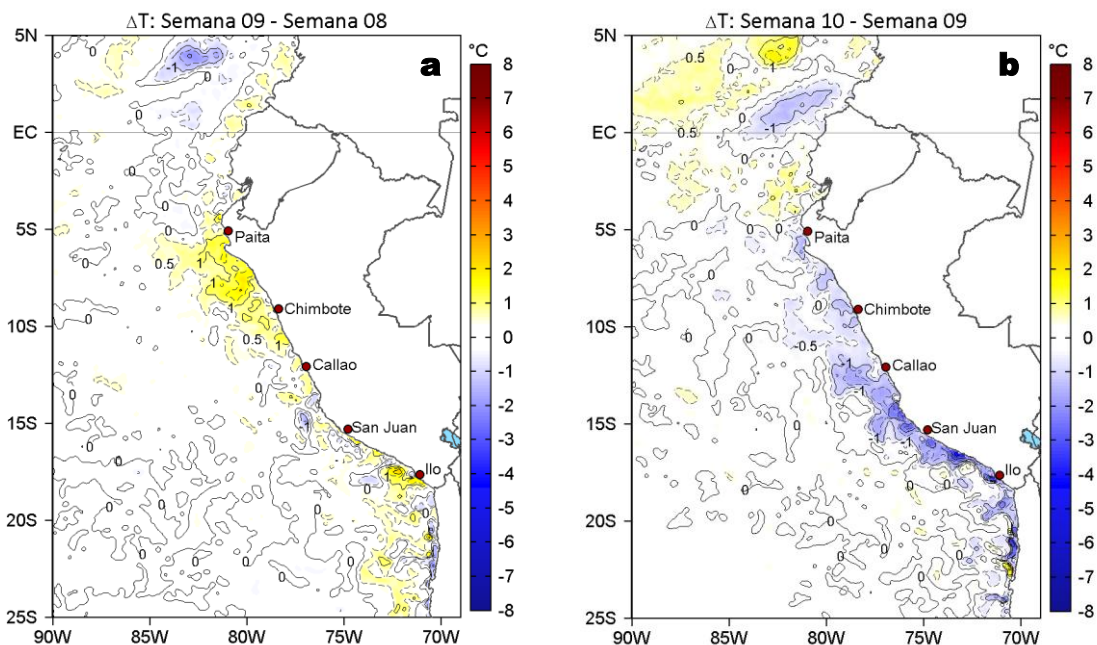


Figura 5. Variación semanal de la TSM (°C) en el océano Pacífico tropical oriental entre: a) novena (23 de febrero - 01 de marzo) y octava (16 - 22 de febrero) semana de 2026 y b) décima (02 - 08 de marzo) y novena (23 de febrero - 01 de marzo) semana de 2026. Los mapas, que indican el grado de calentamiento o enfriamiento de una semana a otra, provienen de OSTIA-UKMO-L4-GLOB-v2.0 (UK Met Office, 2012; Donlon et al, 2012).

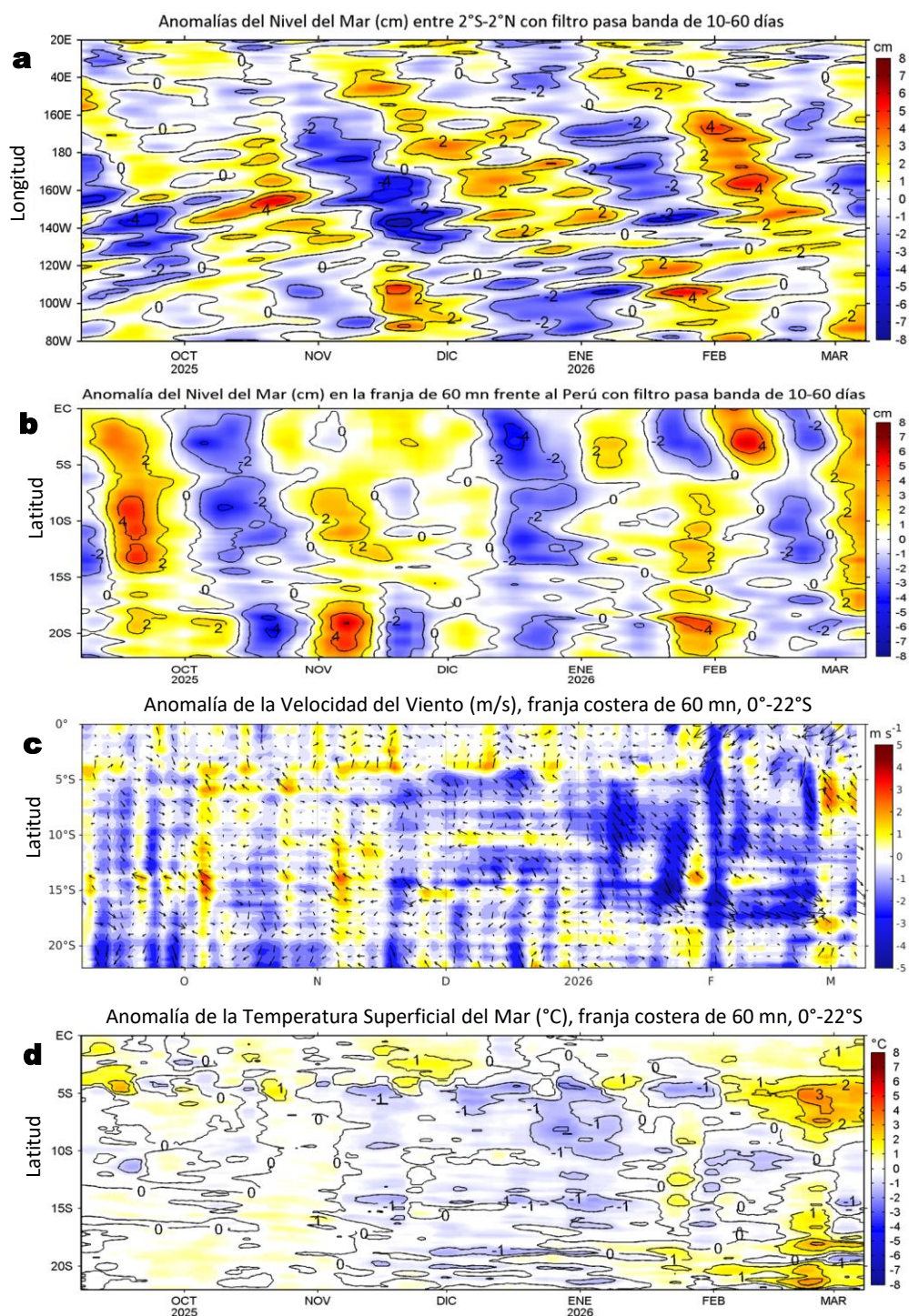


Figura 6. Evolución diaria de a) las anomalías del nivel del mar (cm) con filtro pasa banda de 10-60 días para la franja de 2°S-2°N en el Pacífico ecuatorial y b) la franja de 60 mn adyacente a la costa entre el ecuador geográfico y 22°S, así como para las anomalías de la c) velocidad del viento (m/s) y d) temperatura superficial del mar (°C); actualizadas al 08 de marzo del 2026. Datos: CMEMS (a, b y c) y OSTIA-UKMO-L4-GLOB-v2.0 para (d). Climatología: 1993-2020 (a y b), 2000-2020 (c) y 1991-2020 (d).

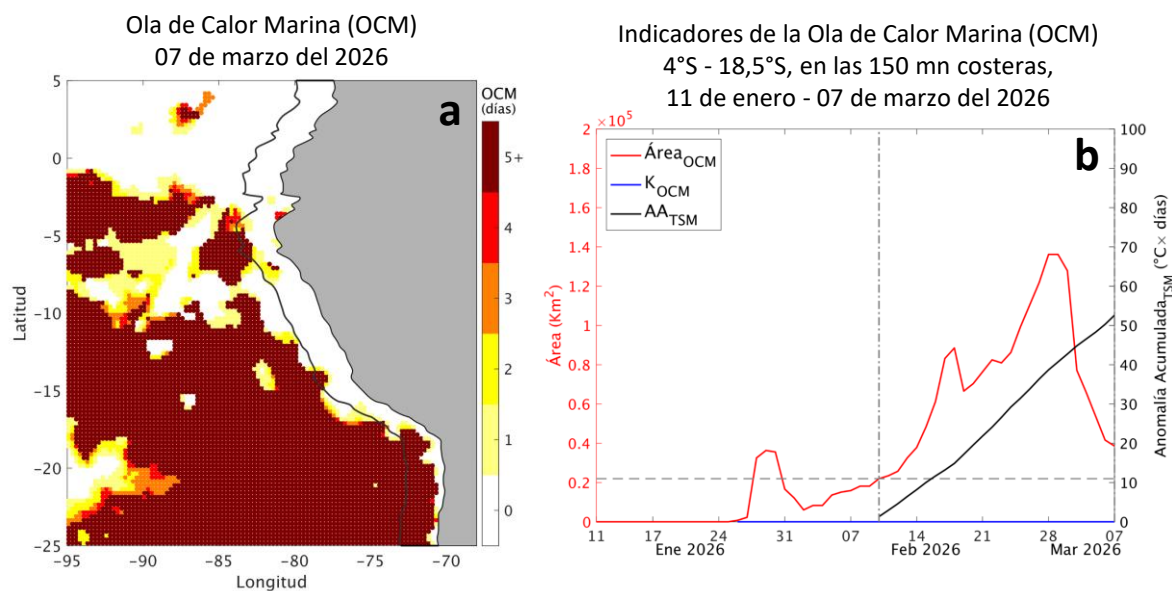


Figura 7. a) Distribución espacial de la cobertura de la ola de calor marina (OCM, Hobday et al., 2016) entre los 5°N y 25°S, y 70° W y 95°W para el 07 de marzo del 2026; la línea paralela a la costa demarca la distancia de 150 mn y la escala de color indica el número de días en los cuales la TSM supera el percentil 90 de los datos diarios históricos, usando el período 1982-2011 como referencia (Pietri et al., 2021). b) Series de tiempo de los indicadores de OCM para la zona entre los 4°S y 18,5°S dentro de las 150 mn costeras: área en condición de OCM (Área_{OCM} , $\times 10^4 \text{ Km}^2$; rojo); área en condición de OCM donde la ATSM > +4 °C (K_{OCM} , Km^2 ; azul); y anomalía térmica acumulada en el área (AATSM, $^\circ\text{C} \times \text{días}$; negro). Al 07 de marzo, la condición de OCM presenta una anomalía acumulada de 52,58 $^\circ\text{C} \times \text{días}$. Fuente: OISST 2.1.

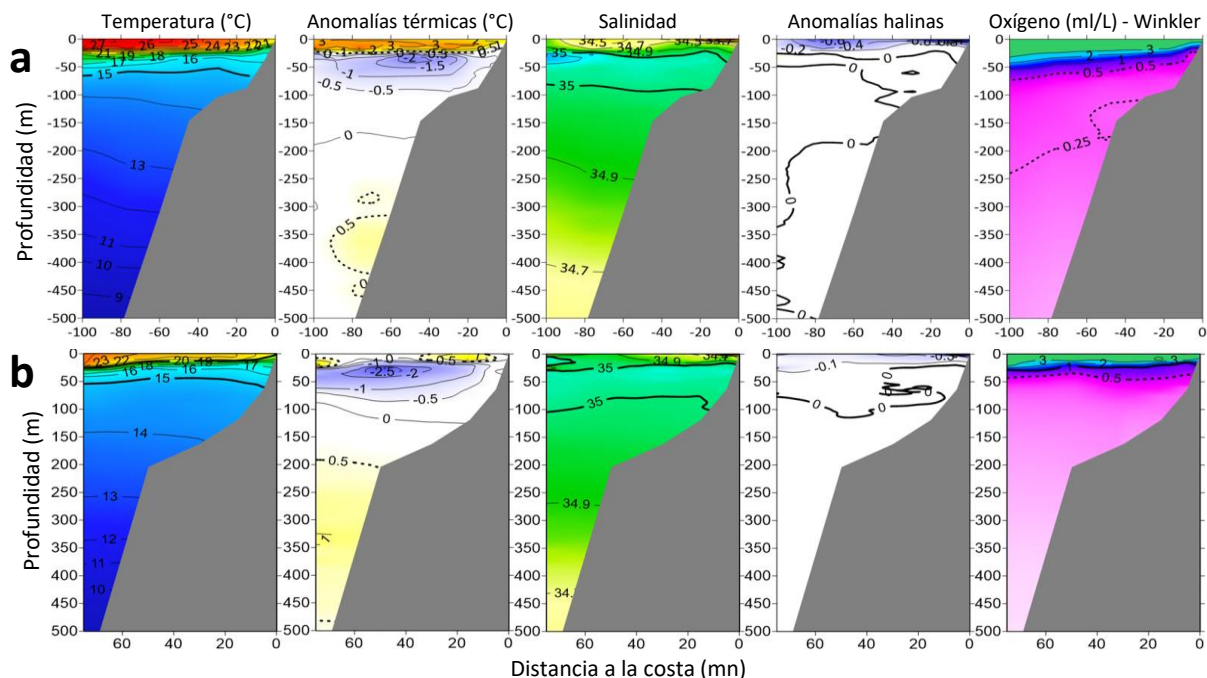


Figura 8. Estructura vertical de la: temperatura ($^\circ\text{C}$), anomalías térmicas ($^\circ\text{C}$), salinidad, anomalías halinas y oxígeno disuelto (ml/L); registradas en la sección oceanográfica frente a) Chicama (02-03 marzo) y b) Chimbote (06-07 marzo), durante el Crucero de Evaluación Hidroacústica de la anchoveta, a bordo del BIC Humboldt. Climatología: 1991-2020 (Domínguez et al (2023)).

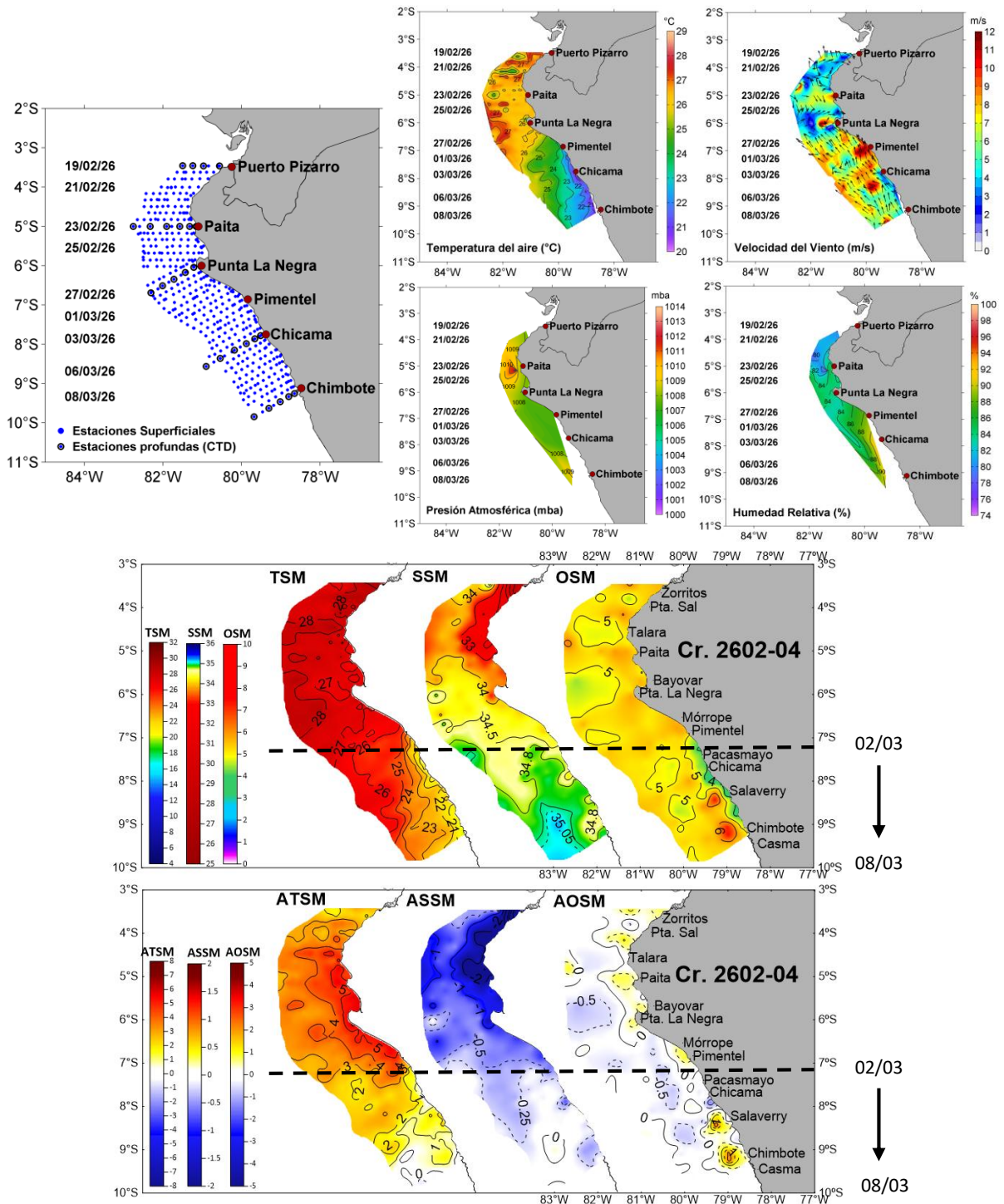


Figura 9. Distribución de la: temperatura del aire (°C), velocidad del viento (m/s), presión atmosférica (mba), humedad relativa (%). Distribución a nivel superficial de la temperatura (°C, TSM), anomalías térmicas (°C, ATSM), salinidad (SSM), anomalías halinas (ASSM), oxígeno (ml/L, OSM) y anomalías de oxígeno (ml/L, AOSM); registradas entre Puerto Pizarro y Chimbote durante el Crucero de Evaluación Hidroacústica de la anchoveta entre el 19 de febrero y 08 de marzo, a bordo del BIC Humboldt y el BIC Flores. Climatología: 1991-2020 (Domínguez et al (2023)).

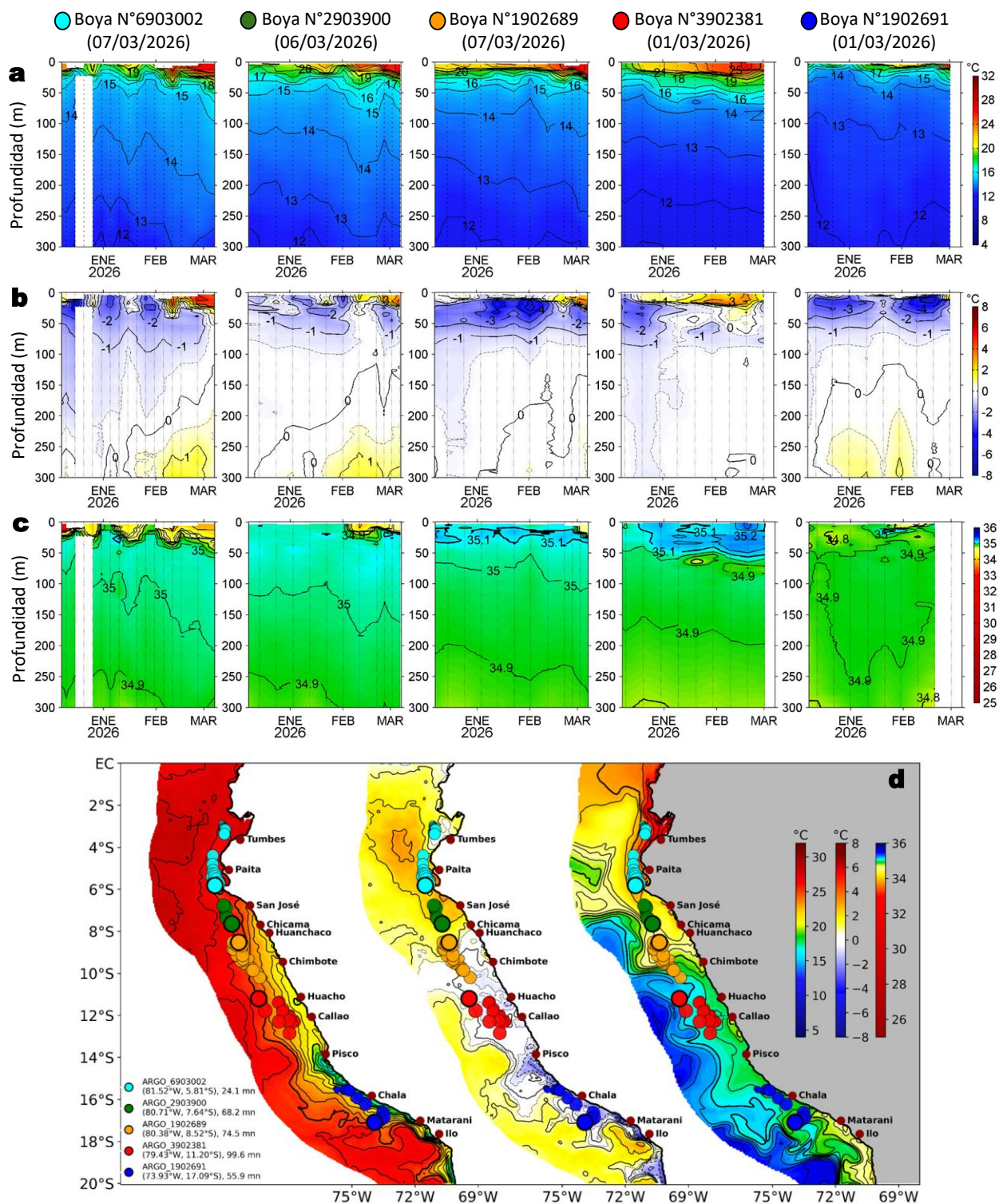


Figura 10. Diagrama Hovmöller de la: a) Temperatura del mar (°C), b) Anomalías térmicas (°C), c) Salinidad del mar registrados por los perfiladores ARGO frente a la costa peruana (d) durante los últimos 90 días. Los puntos en la columna de agua indican los días en que los perfiladores registraron información. Datos: ARGO. Climatología: 1991-2020 (Dominguez et al (2023)).

ASPECTOS BIOLÓGICO-PESQUEROS

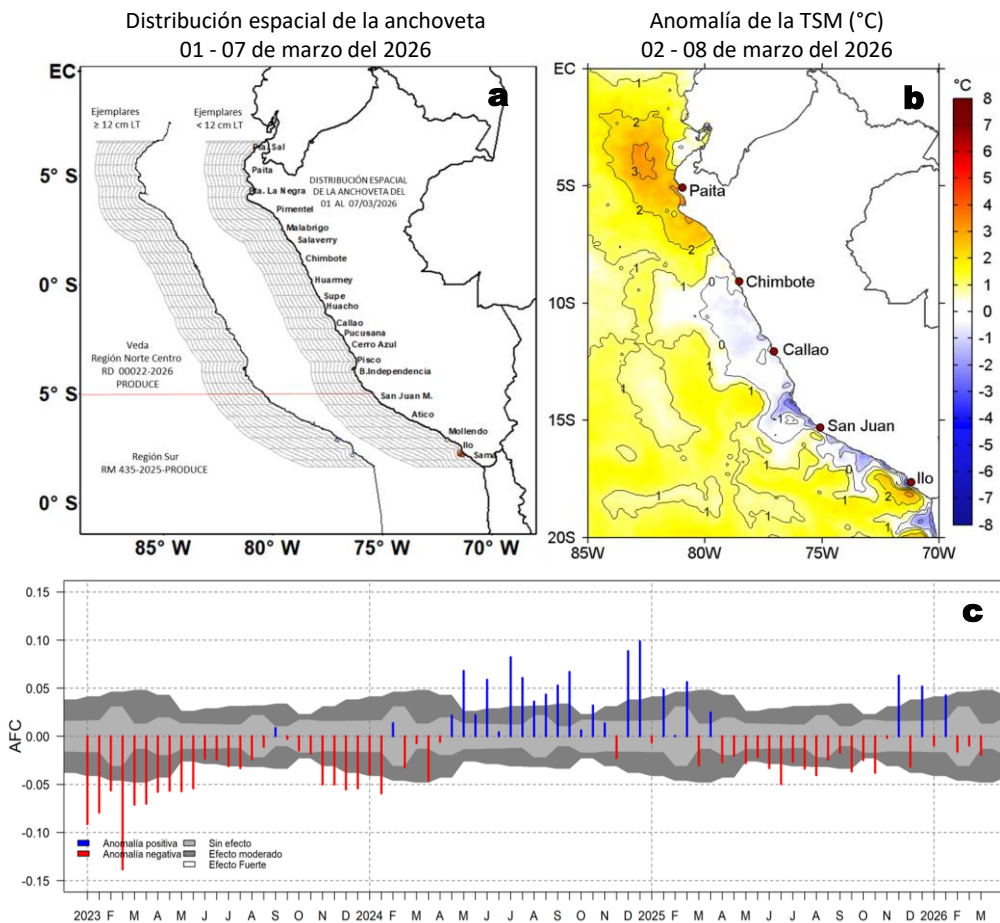


Figura 11. a) Distribución espacial de la anchoveta por región y su relación con b) las anomalías térmicas (°C) obtenidas del producto OSTIA-UKMO-L4-GLOB-v2.0; para la semana del 02 al 08 de marzo del 2026. c) Serie de tiempo de las Anomalías del índice del factor de condición (AFC) de la anchoveta peruana *Engraulis ringens* (Cuba et al., 2019) desde enero 2023 hasta marzo del 2026. Climatología: 1991-2020 (b).

PRONÓSTICO

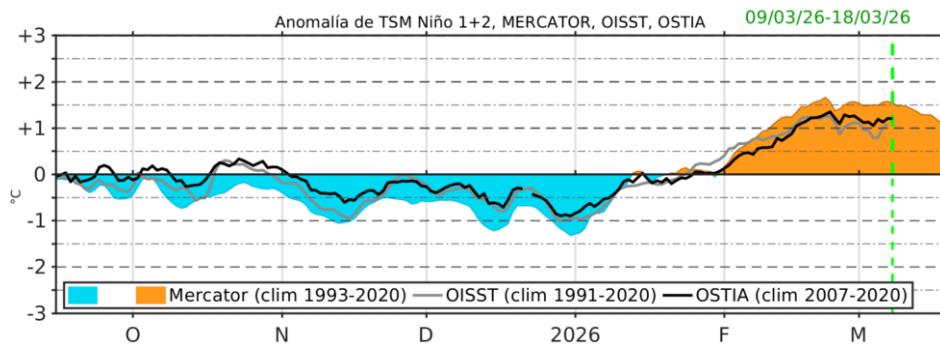


Figura 12. Series de tiempo de la anomalía de TSM diaria en la región Niño 1+2, obtenidas a partir del modelo MERCATOR (sombreado celeste y naranja), el producto OISST (línea gris) y el producto OSTIA (línea negra), a partir del promedio climatológico de 1993-2020, 1991-2020 y 2007-2020, respectivamente. La línea discontinua vertical de color verde indica la fecha de inicio del pronóstico de las anomalías de TSM según MERCATOR.



PERÚ

Ministerio de la Producción



PREMIO 2018 BUENAS PRÁCTICAS EN GESTIÓN PÚBLICA

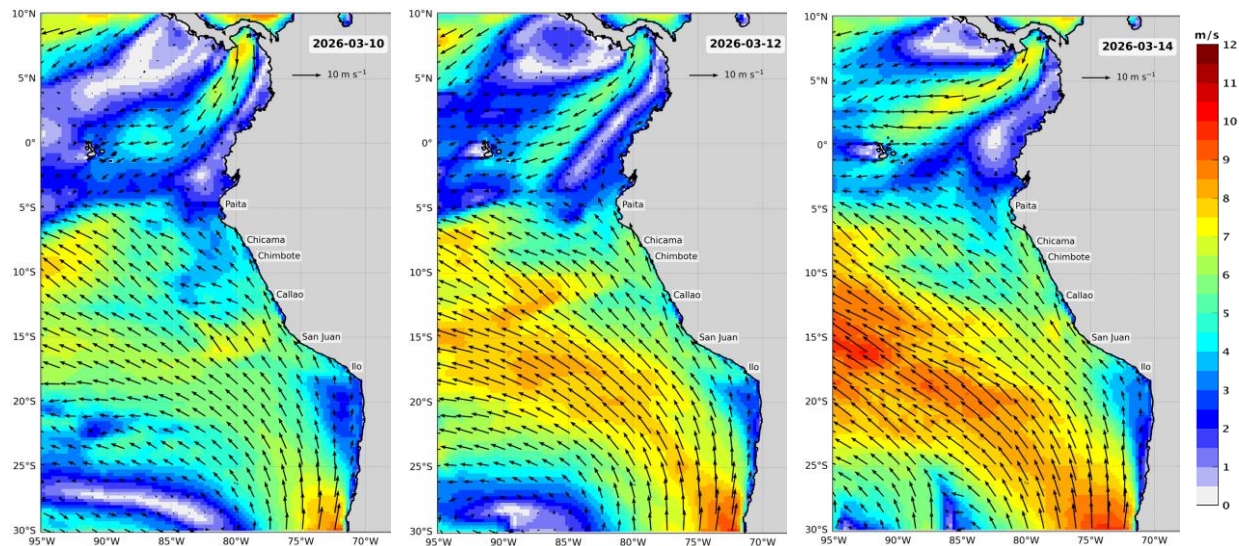


DGIOCC Dirección General de Investigaciones en Oceanografía y Cambio Climático



DGIRP Dirección General de Investigaciones de Recursos Pelágicos

Velocidad del Viento (VV, m/s) y Dirección del viento (DV, °)



Anomalia de la Velocidad del Viento (VV, m/s) y Dirección del viento (DV, °)

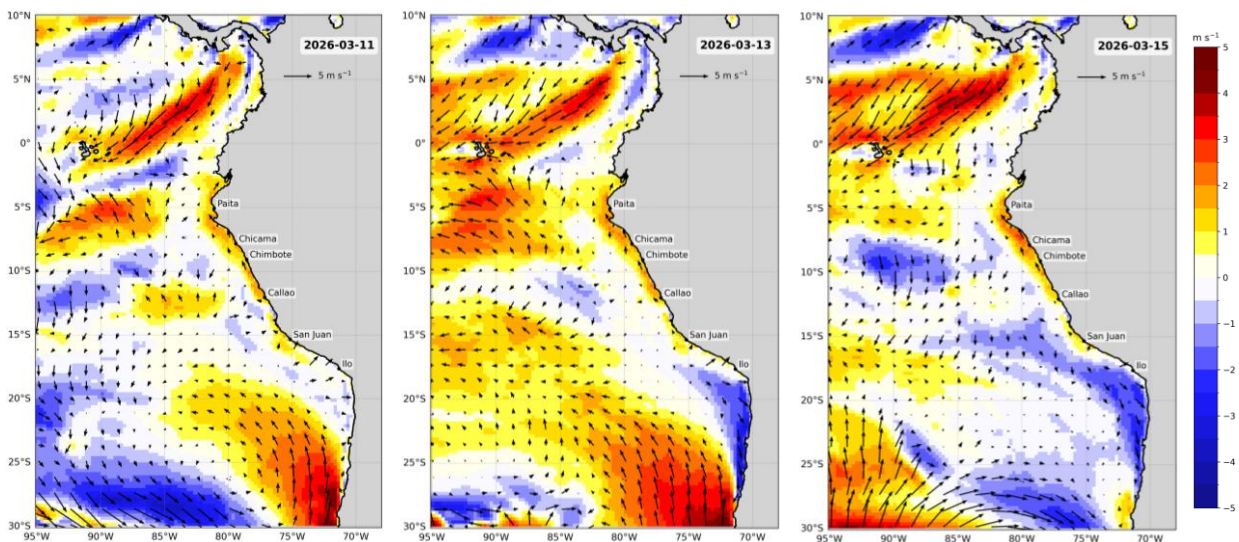


Figura 13. Distribución espacial del pronóstico de la velocidad del viento (VV, m/s) y dirección del viento (DV, °) para los días a) 10, b) 12 y c) 14 de marzo de 2026, así como para sus anomalías para los días a) 11, b) 13 y c) 15 de marzo de 2026, frente a la costa sudamericana entre Centroamérica y la costa norte de Chile. Fuente: Modelo Climate Forecast System (GFS) de la NOAA. Climatología: 2000-2020.

Escala de vientos: Vientos muy débiles (< 0,7 m/s), débiles (0,7 a 4,1 m/s), moderados (4,1 a 6,8 m/s), fuertes (6,8 a 10,4 m/s), muy fuertes (> 10,4 m/s); de acuerdo a Correa, Vásquez y Gutiérrez (2018).

Condiciones iniciales: 01 - 06 de marzo, 2026.

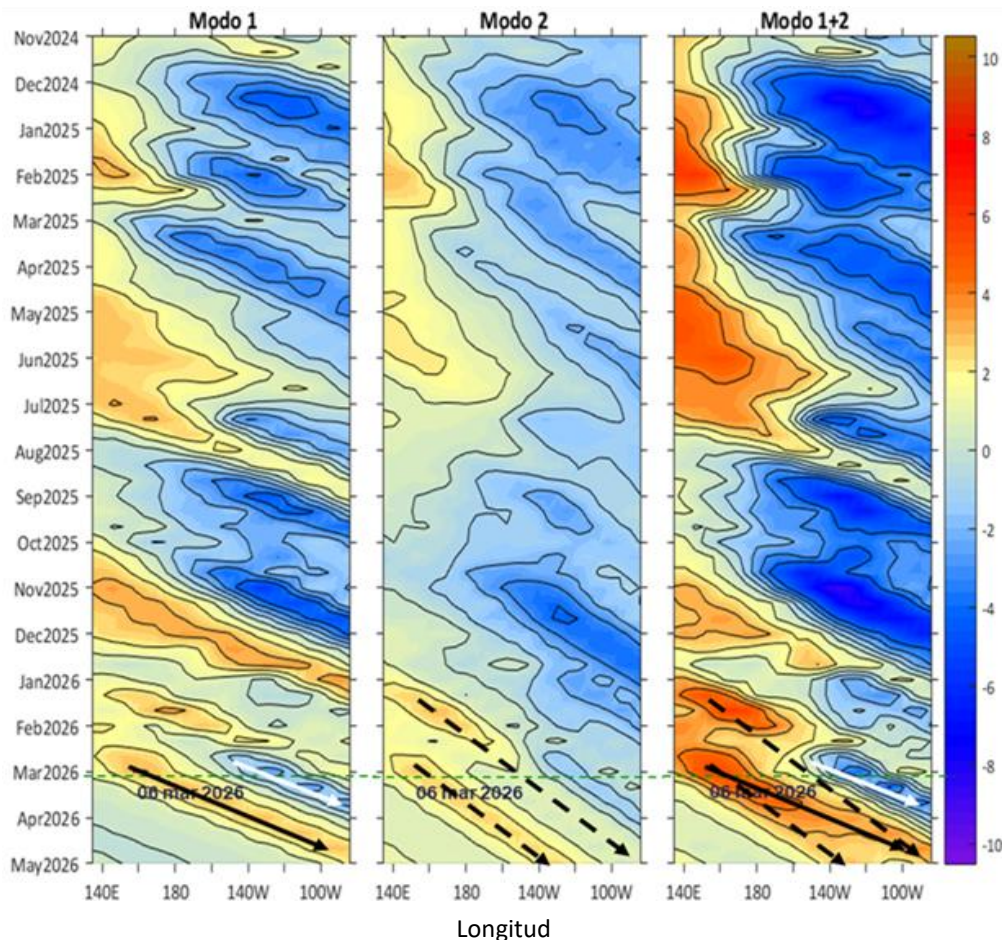


Figura 14. Diagramas Hovmöller longitud-tiempo de las ondas Kelvin (OK) ecuatoriales en el océano Pacífico ecuatorial entre 130°E y 95°W y en la banda entre 1°N-1°S, forzado con anomalías del esfuerzo del viento (N/m²) del NCEP (Kalnay et al., 1996) de acuerdo con la metodología de Illig et al. (2004) y Dewitte et al. (2002): a) Modo 1, b) Modo 2 y c) Modos 1+2. La línea discontinua horizontal de color verde indica la fecha del inicio del pronóstico con anomalías del esfuerzo del viento igual a cero. Los valores negativos corresponden a ondas Kelvin de afloramiento (frías) y están representadas por flechas discontinuas de color blanco. Los valores positivos corresponden a ondas Kelvin de hundimiento (cálidas) cuya propagación está representada por flechas de color negro sólido (modo 1) y discontinuo (modo 2). Datos del modelo: LMOECC/AFIOF/DGIOCC/IMARPE.

La última simulación del modelo de OK ecuatoriales, forzada con anomalías del esfuerzo del viento ecuatorial superficial obtenidas del NCEP al 06.03.2026, indica que, debido a la persistencia de las anomalías de vientos del este en el Pacífico ecuatorial central, una OK ecuatorial cálida (modo 2), mencionada en el BS-OBP N° 03-2026 arribaría al extremo oriental del Pacífico ecuatorial entre abril y mayo de 2026 (modo 2), con una intensidad debilitada. Asimismo, la OK ecuatorial fría (modo 1), mencionada en el boletín anterior, arribaría entre marzo y abril. Por otro lado, otra OK ecuatorial cálida (modo 1), mencionada en el BS-OBP N°06-2026, ha sido reforzada por la persistencia de las anomalías de vientos del oeste en el Pacífico ecuatorial occidental, y su arribo se prevé para abril de 2026. Esta misma persistencia de anomalías de vientos del oeste habría generado, además, una OK ecuatorial cálida (modo 2) en el Pacífico ecuatorial occidental, cuyo arribo, bajo condiciones climatológicas del viento, se espera para junio de 2026.

REFERENCIAS

- Correa, D.; Vásquez, L. y D. Gutiérrez (2018). Propuesta de escala de vientos para la zona costera y oceánica frente al Perú. Taller interno del IMARPE, 24 de septiembre de 2018.
- Cuba, A., Sánchez, J., Mori, J., & Chávez, G. (2019). Anomalías de los índices reproductivos fracción desovante e índice gonadosomático de anchoveta peruana *Engraulis ringens* (Jenyns, 1842) del stock norte-centro del Perú en relación a El Niño Costero 2017. *The Biologist*, 17(2).
- Dewitte B., D. Gushchina, Y. du Penhoat and S. Lakeev, 2002: On the importance of subsurface variability for ENSO simulation and prediction with intermediate coupled models of the Tropical Pacific: A case study for the 1997-1998 El Niño. *Geoph. Res. Lett.*, vol. 29, no. 14, 1666, 10.1029/2001GL014452.
- Donlon, C. J, M. Martin, J. Stark, J. Roberts-Jones, E. Fiedler, W. Wimmer, 2012. The Operational Sea Surface Temperature and Sea Ice Analysis (OSTIA) system. *Remote Sen. Env.*, 116, 140-158.
- ENFEN, 2024. Definición operacional de los eventos El Niño Costero y La Niña Costera en el Perú. Nota Técnica. <https://enfen.imarpe.gob.pe/download/nota-tecnica-enfen-01-2024-definicion-operacional-de-los-eventos-el-nino-costero-y-la-nina-costera-en-el-peru/?wpdmdl=1905&ind=1733921744133>
- Hobday, A. J., Alexander, L. V., Perkins, S. E., Smale, D. A., Straub, S. C., Oliver, E. C. J., ... Wernberg, T. (2016). A hierarchical approach to defining marine heatwaves. *Progress in Oceanography*, 141, 227–238. doi:10.1016/j.pocean.2015.12.014
- Illig, S., B. Dewitte, N. Ayoub, Y. du Penhoat, G. Reverdin, P. De Mey, F. Bonjean and G. S. E. Lagerloef, 2004: Interannual Long Equatorial Waves in the Tropical Atlantic from a High Resolution OGCM Experiment in 1981-2000, *Journal of Geophysical Research*, 109, C02022, doi:10.1029/2003jc001771.
- Kalnay, E., M. Kanamitsu, R. Kistler, W. Collins, D. Deaven, L. Gandin, M. Iredell, S. Saha, G. White, J. Woollen, Y. Zhu, A. Leetmaa, B. Reynolds, M. Chelliah, W. Ebisuzaki, W. Higgins, J. Janowiak, K. Mo, C. Ropelewski, J. Wang, R. Jenne, and D. Joseph, 1996: The NCEP/NCAR 40-Year Reanalysis Project. *Bull. Amer. Meteor. Soc.*, 77, 437–471.
- Kobayashi S, Ota Y, Harada Y, Ebata A, Moriya M, Onoda H, Onogi K, Kamahori H, Kobayashi C, Endo H, Miyaoka K, Takahashi K (2015) The JRA-55 reanalysis: general specifications and basic characteristics. *J Meteor Soc Jpn* 93: 5–48.
- Lellouche, J.-M., Le Galloudec, O., Drévilion, M., Régnier, C., Greiner, E., Garric, G., Ferry, N., Desportes, C., Testut, C.-E., Bricaud, C., Bourdallé-Badie, R., Tranchant, B., Benkiran, M., Drillet, Y., Daudin, A., and De Nicola, C.: Evaluation of global monitoring and forecasting systems at Mercator Océan, *Ocean Sci.*, 9, 57-81, 2013.
- Perea, A., B. Buitrón, J. Mori, J. Sánchez, C. Roque, 2015. Anomalías de los Índices reproductivos de anchoveta *Engraulis ringens* en relación al ambiente. En: *Boletín Trimestral Oceanográfico*, Volumen 1, Números 1-4, pp.: 27-28.
- Pietri, A., Colas, F., Mogollon, R., J. Tam & D. Gutierrez. Marine heatwaves in the Humboldt current system: from 5-day localized warming to year-long El Niños. *Sci Rep* 11, 21172 (2021). <https://doi.org/10.1038/s41598-021-00340-4>
- Quispe Ccallauri, C, J. Tam, H. Demarcq, C. Romero, D. Espinoza, A. Chamorro, J. Ramos, R. Oliveros, 2016. El Índice Térmico Costero Peruano. En: *Boletín Trimestral Oceanográfico*, Volumen 2, Número 1, pp: 7-11.
- Quispe-Ccalluari C, Tam J, Arellano C, Chamorro A, Espinoza-Morriberón D, Romero C, Ramos J. 2015. Desarrollo y aplicación de índices y simulaciones para la vigilancia y el pronóstico a mediano plazo del impacto del ENOS frente a la costa peruana. *Inf. Inst. Mar Perú*, Vol. 44(1):28-34. <https://biblioimarpe.imarpe.gob.pe/handle/20.500.12958/3149>
- Quispe, J. y L. Vásquez, 2015. Índice “LABCOS” para la caracterización de evento El Niño y La Niña frente a la costa del Perú, 1976-2015. En: *Boletín Trimestral Oceanográfico*, Volumen 1, Números 1-4, pp.: 14-18.



PERÚ

Ministerio
de la Producción



PREMIO 2018
BUENAS PRÁCTICAS
EN GESTIÓN PÚBLICA



RECONOCIMIENTOS

The Group for High Resolution Sea Surface Temperature (GHR SST) Multi-scale Ultra-high Resolution (MUR) Level 4 OSTIA Global Foundation Sea Surface Temperature Analysis (GDS version 2). Ver. 2.0 data were obtained from the NASA EOSDIS Physical Oceanography Distributed Active Archive Center (PO.DAAC) at the Jet Propulsion Laboratory, Pasadena, CA (<http://dx.doi.org/10.5067/GHGMR-4FJ01>).

The Ssalto/Duacs altimeter products were produced and distributed by the Copernicus Marine and Environment Monitoring Service (CMEMS) (<https://data.marine.copernicus.eu/products>).

The products from the MERCATOR OCEAN system distributed through the Marine Copernicus Service (<https://data.marine.copernicus.eu/products>).

Los datos de pronóstico del Global Forecast System (GFS) fueron producidos por los National Centers for Environmental Prediction (NCEP) de la National Oceanic and Atmospheric Administration (NOAA) y distribuidos a través del NOAA Operational Model Archive and Distribution System (NOMADS) (<https://nomads.ncep.noaa.gov>).

Las anomalías del índice de factor de condición fueron determinadas a partir de información brindada por el Laboratorio de Biología Reproductiva de la sede central de IMARPE.

Este boletín es una acción del Programa Presupuesto Por Resultados - PPR 068 El Niño “Reducción de Vulnerabilidad y Atención de Emergencias por Desastres” y su producto “Entidades Informadas en forma permanente y con pronósticos frente al Fenómeno El Niño” del IMARPE.

EQUIPO CIENTÍFICO

Dirección General de Investigaciones en Oceanografía y Cambio climático (DGIOCC):

Katherine Vásquez, Dimitri Gutiérrez, Daniel Camarena, Tony Anculle, José Vílchez, Carlos Quispe, Dante Espinoza y Gustavo Orihuela.

Dirección General de Investigaciones de Recursos pelágicos (DGIRP):

Javier Sánchez, Dany Ulloa, Gabriela Cazorla y Cecilia Peña.

El Boletín Semanal Oceanográfico y Biológico-Pesquero (BS-OBP) presenta la evolución de variables físicas en el océano y la atmósfera, de la estructura físico-química del océano frente a la costa norte-centro del Perú en un contexto temporal de corto plazo y en un marco local-regional. El objetivo del BSOBP es comprender los efectos de la variabilidad de macroescala y regional de corto plazo en las condiciones oceanográficas y biológico-pesqueras del mar peruano. Esta información se sustenta en las redes observacionales in situ que administra el IMARPE y que se ha fortalecido en el marco del Programa Presupuesto Por Resultados - PPR 068 El Niño “Reducción de Vulnerabilidad y Atención de Emergencias por Desastres” y su producto “Entidades Informadas en forma permanente y con pronósticos frente al Fenómeno El Niño” del Estado Peruano. Asimismo, esta información local se complementa con un repertorio de productos satelitales y con mediciones directas de equipamiento de programas y proyectos internacionales con el fin de lograr un análisis integrado del estado del océano.

El BS-OBP, asimismo, pretende informar de forma oportuna y permanente sobre el estado del océano a diferentes grupos de interés y sociedad en general y contribuir a mejorar el conocimiento del mar peruano y coadyuvar a la gestión del riesgo de desastres del Estado Peruano.

IMARPE (2026). Boletín Semanal Oceanográfico y Biológico-Pesquero N°10-2026, 02 - 08 de marzo de 2026, Callao, Instituto del Mar del Perú. <https://siofen.imarpe.gob.pe/boletines-e-informes/BS-OBP>

Suscripciones: Complete [este formulario](#) o escriba al correo electrónico siofen@imarpe.gob.pe.

Consultas:

Servicio de Información Oceanográfica del Fenómeno El Niño, SIOFEN

Laboratorio de Hidrofísica Marina/AFIOF

Dirección General de Investigaciones Oceanográficas y Cambio Climático/Instituto del Mar del Perú

Esquina Gamarra y General Valle S/N, Chucuito, Callao - Perú. Teléfono: (51 1) 904 0137 (Extensión 824).

Foto en la portada: Mar peruano (©IMARPE)

© 2026 Instituto del Mar del Perú



IMARPE
INSTITUTO DEL MAR DEL PERÚ

SIOFEN SERVICIO DE INFORMACIÓN OCEANOGRÁFICA DEL FENÓMENO EL NIÑO



PERÚ

Ministerio
de la Producción



PREMIO 2018
BUENAS PRÁCTICAS
EN GESTIÓN PÚBLICA

